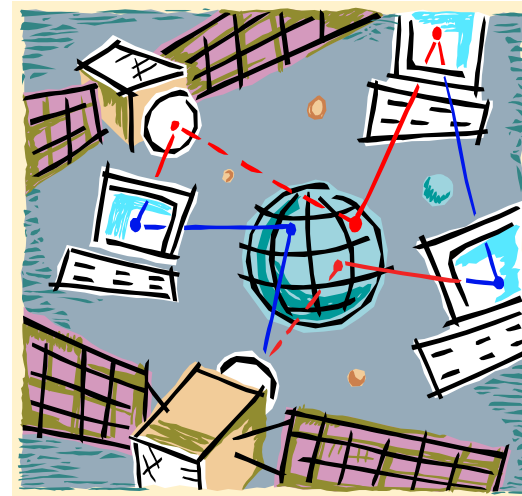
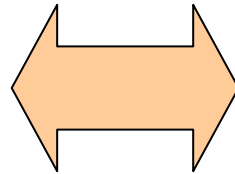


トラフィック特徴量の時系列データにおける 相関特性を用いた変化点からの異常検出

平成19年度 後期雑誌会
B4 松本 亮介

研究背景



- 計算機・ネットワークは社会に必要不可欠
- ウィルスなどの発生 ⇒ セキュリティが重要



研究背景

- 現実には様々な被害を受けている
- ネットワークセキュリティの確保
 - IDS(インシデント分析システム)への注目

⇒ 各種ログデータからのインシデント候補を検出

リアルタイム検知
(インシデントを検出しアラートを出す)

⇒ ネットワーク管理者の監視を**効率化**

リアルタイム検知の研究

研究：時系列データからの外れ値特定による変化点検出

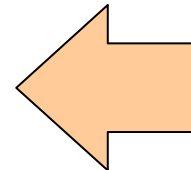
ネットワークセキュリティ

- ・不正アクセス
- ・ネットワーク障害
- ・サイバーテロ



変化点

通信量の
時系列データ

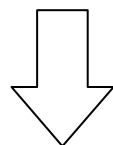


■ 変化点検出をセキュリティに利用

- ⇒ 変化点検出によってウィルス被害等を防ぐ
- ⇒ データマイニングの観点からセキュリティに応用

これまでの手法の問題点

- 通信量やトラフィック特徴量を単一で使用
 - 異常状態が全体との関係において不明瞭
 - 単一のデータでは正常と異常の区別が困難
- 悪質な攻撃である**DoS攻撃**
- 不正アクセスの準備段階で用いられる**ポートスキャン**



一つ一つの通信は正常であることが多い

⇒ **検出が困難である攻撃法**



本発表

文献[4]によるChangeFinder(変化点検出エンジン)を用いて、トラフィック特徴量の相関特性を利用した手法を提案する。

- ⇒ 単一の特徴量ではとらえられない異常を検出
- ⇒ DoS攻撃とポートスキャン検出の精度向上

[4] J. Takeuchi and K. Yamanishi, "A Unifying Framework for Detecting Outliers and Change Points from Time Series," IEEE transactions on Knowledge and Data Engineering, pp.482-492, 2006.



発表の流れ

- 提案手法の説明
- 実験と考察
- まとめ



目次

- 提案手法の説明
- 実験と考察
- まとめ



変化点検出における異常検出

■ これまでの手法

単一のトラフィック特徴から異常を検出

⇒ 正常と異常が混合された結果となる

[例1] HTTPにおいて大量の通信が起きた時

⇒ 不正アクセスによって生じている

⇒ ホームページを見ている人が大量にいる

[例2] 単一の特徴量で変化点を検出

⇒ 各時間において全体との関係が分からない

⇒ 単一の特徴量では変化点を異常とする設定が困難



提案手法による異常検出

■ 提案手法

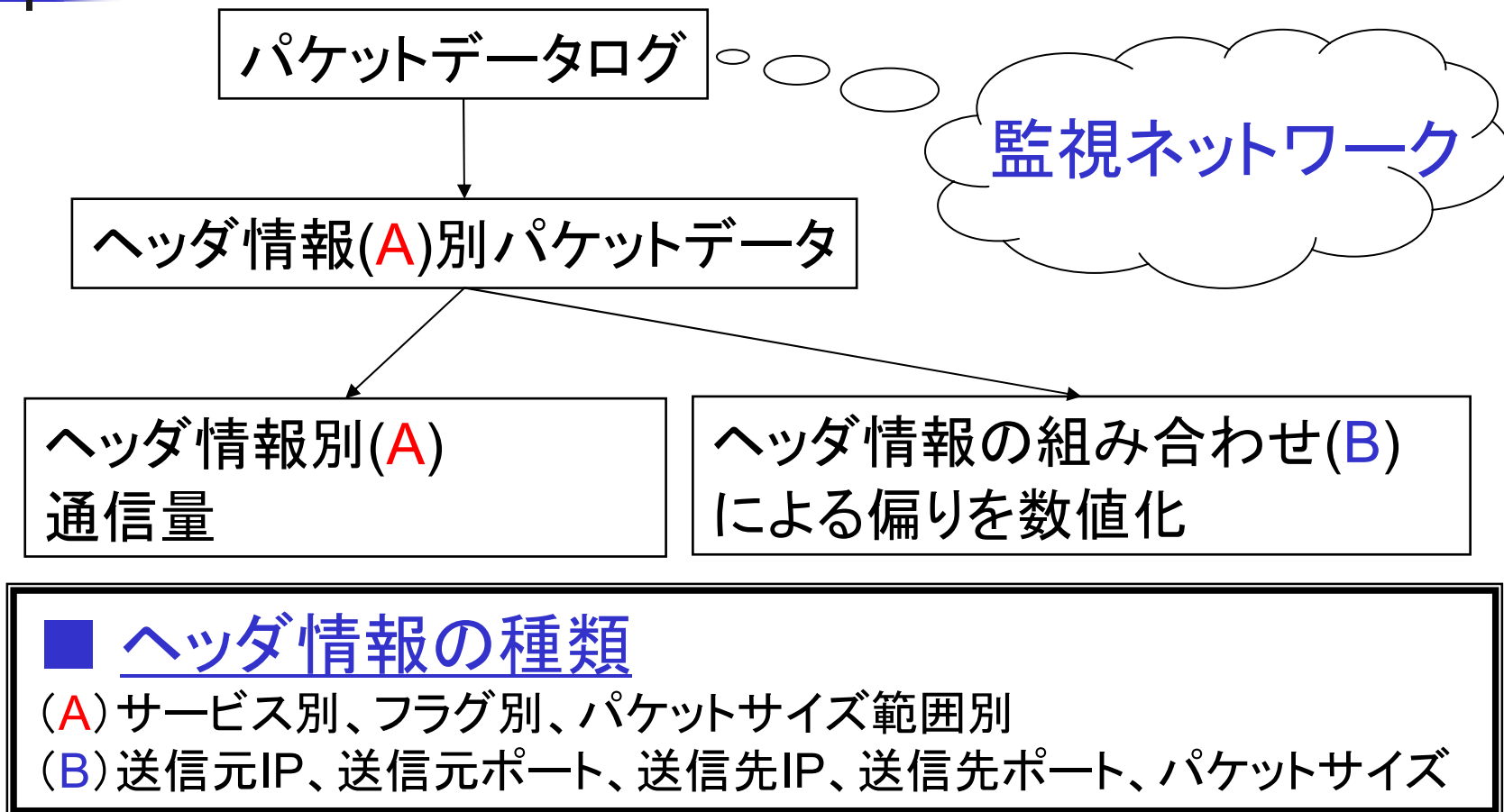
複数のトラフィック特徴の相関関係を利用

・複数のトラフィック特徴量の関係を考慮
⇒ 単一の特徴量では捉えられない変化を抽出

⇒ **正常と異常を区別できる可能性が高くなる**

- 1、トラフィックから特徴量を抽出し時系列データ作成
- 2、時系列データによる相関係数時系列データ作成
- 3、相関係数時系列データから変化点検出 ⇒ **異常**

トラフィック特徴量抽出の流れ



⇒ 本発表ではDoS攻撃とポートスキャンの検出精度向上を目標

DoS攻撃

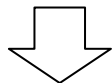
■ DoS攻撃 (HTTPへの攻撃と定義)

・大量の接続要求を送ることでサーバに過負荷を発生させる攻撃 ⇒ 一つ一つは**正常な通信** (検出が困難)

⇒ 機械的に行うことが多いため、**ヘッダ情報**に偏りが生じる

送信先IP + 送信先ポート + データサイズ

通信量と**偏り**は通常ではゆるやかな相関関係



相関に急激な変化

DoS攻撃である可能性が高い

⇒ **通信量**と**偏り**を時系列データに抽出

時系列データ処理(例:通常状態)

単位時間を1分として処理を行う

時間	送信元IP.送信元ポート > 送信先IP.送信先ポート: (パケットサイズ)
00:37:07	IP 172.16.114.50.http > 206.48.44.50.2222: . ack 5841 win 32120
00:37:17	IP 172.16.114.50.http > 206.48.44.90.2313: . ack 2921 win 32120
00:37:25	IP 206.48.44.40.2222 > 172.16.114.30.http: . (256) ack 8192 win 31744
00:37:25	IP 206.48.44.50.2222 > 172.16.114.40.http: . (1320) ack 8192 win 31744
00:37:38	IP 206.48.44.60.2222 > 172.16.114.70.http: . (156) ack 8192 win 31744
00:37:49	IP 206.48.44.90.2313 > 172.16.114.50.http: . (1460) ack 8192 win 31744
00:37:58	IP 206.48.44.90.2313 > 172.16.114.50.http: . (1460) ack 8192 win 31744

7

[総パケット数] = 7 ⇒ 通信量(HTTP)

[組み合わせ数] = 4

[組み合わせにおけるヘッダ情報要素を含むパケット数] = 5

$\frac{[\text{パケット数}]}{[\text{組み合わせ数}]} = \frac{5}{4} \Rightarrow \underline{\text{偏り(DoS攻撃)}}$

時系列データ処理(例: DoS攻撃)

時間	送信元IP.送信元ポート > 送信先IP.送信先ポート: (パケットサイズ)
00:38:07	IP 172.16.114.50.http > 206.48.44.50.2222: . ack 5841 win 32120
00:38:17	IP 172.16.114.50.http > 206.48.44.90.2313: . ack 2921 win 32120
00:38:25	IP 206.48.44.50.2222 > 172.16.114.50.http: . (320) ack 8192 win 31744
00:38:25	IP 206.48.44.50.2222 > 172.16.114.50.http: . (320) ack 8192 win 31744
00:38:38	IP 206.48.44.50.2222 > 172.16.114.50.http: . (320) ack 8192 win 31744
00:38:49	IP 206.48.44.90.2313 > 172.16.114.50.http: . (320) ack 8192 win 31744
00:38:58	IP 206.48.44.90.2313 > 172.16.114.50.http: . (320) ack 8192 win 31744

7

[総パケット数] = 7

⇒ 通信量(HTTP)

[組み合わせ数] = 1

[組み合わせにおけるヘッダ情報要素を含むパケット数] = 5

$\frac{[\text{パケット数}]}{[\text{組み合わせ数}]} = 5$

⇒ 偏り(DoS攻撃)

⇒ 時系列データ

抽出した時系列データの相関関係

相関係数時系列データを作成 ⇒ **変化点を検出**

ポートスキャン

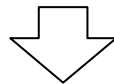
■ ポートスキャン

・サーバのサービスポートに順番にアクセスし、侵入口となりうる脆弱なサービスポートがないかを調べる行為

[特徴1] 送信元IPは偽装されない

[特徴2] サーバ管理者にスキャンを知られたくない

⇒ 接続を確立しない通信方法

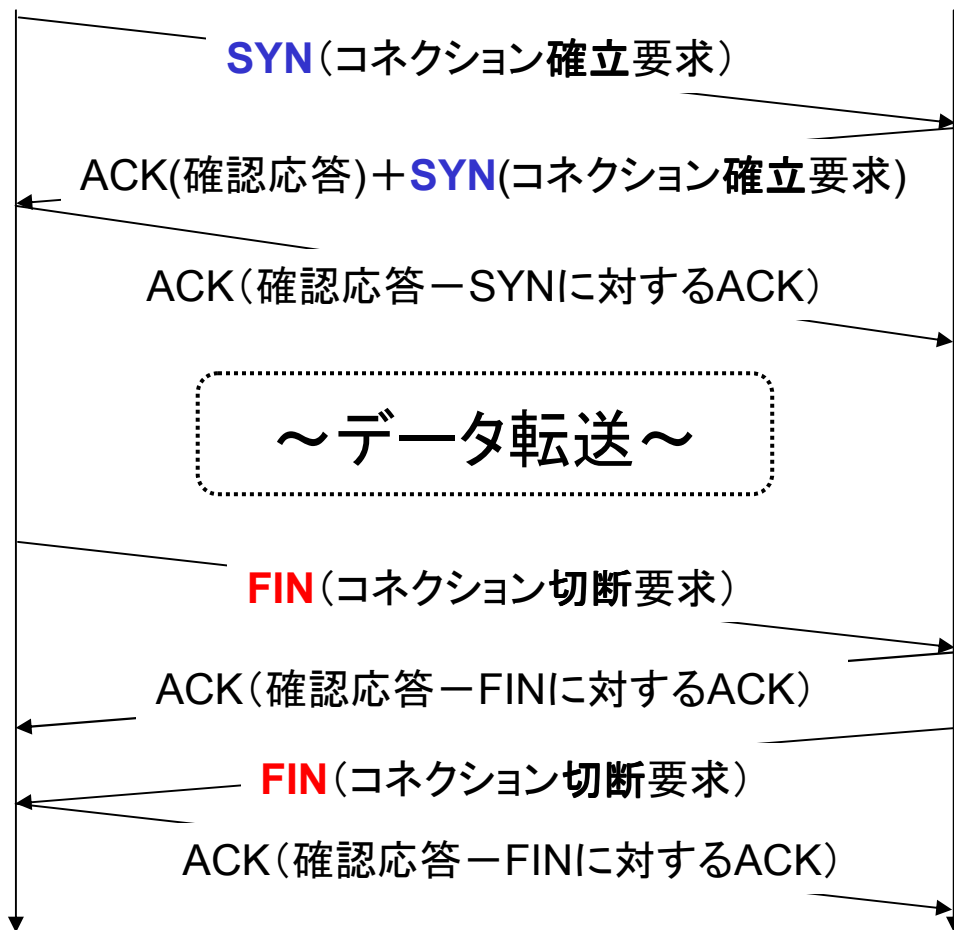


⇒ 特徴量において相関関係が崩れる部分が発生

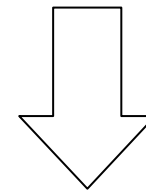
通常の通信方式

送信元ホスト

送信先ホスト



3way-handshake
接続確立と接続切断



SYNと**FIN**は
強い相関関係

ポートスキヤンの通信方式

送信元ホスト

送信先ホスト

SYN(コネクション確立要求)

ACK(確認応答)+SYN(コネクション確立要求)

RST(強制終了)

SYNフラグとFINフラグ
の対応がとれていない

接続確立が成立しない
(サーバログに残らない)

SYNパケット数と
FINパケット数の
相関が崩れる

時系列データ処理 (ポートスキャン)

- 通信量 (ヘッダ情報: **SYN**、**FIN**)

- **SYN**フラグの立ったパケット
- **FIN**フラグの立ったパケット

単位時間(1分)当たりのパケット数をカウント

⇒ フラグ別のパケット数を特徴とした時系列データを抽出

抽出した時系列データの相関関係

相関係数時系列データを作成 ⇒ **変化点を検出**

相関係数時系列処理

■ ピアソンの積率相関係数

- ・ **窓サイズ** N における時系列間の相関係数 \Rightarrow 1ずつ窓をずらす

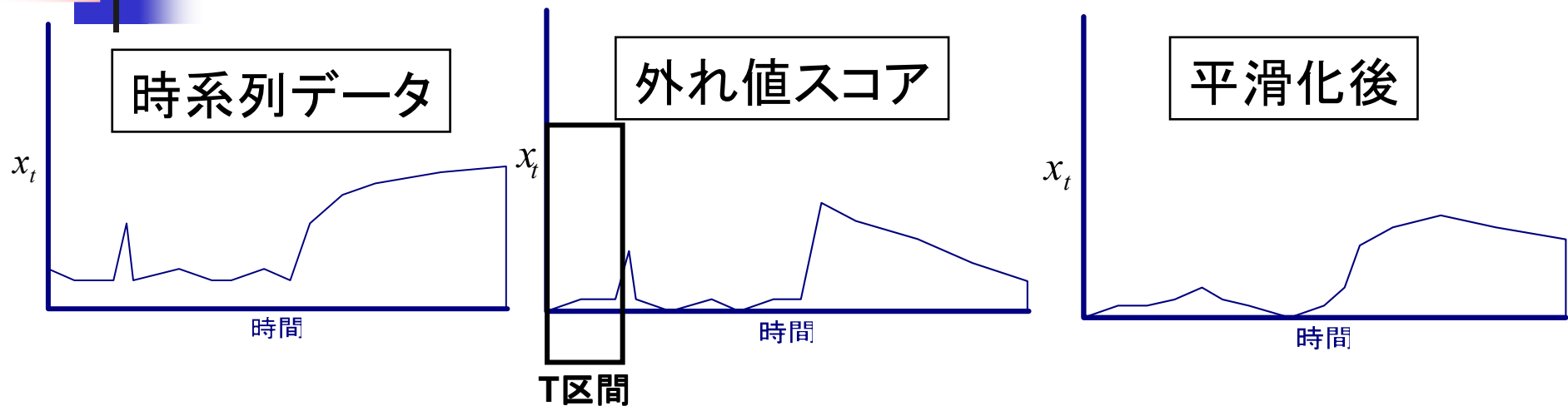
$$\frac{\sum_{i=1}^N (x_i - \bar{x})(y_i - \bar{y})}{\sqrt{\sum_{i=1}^N (x_i - \bar{x})^2} \sqrt{\sum_{i=1}^N (y_i - \bar{y})^2}}$$

$$(x, y) = \{(x_i, y_i)\} (i = 1, 2, \dots, N)$$

\bar{x}, \bar{y} : N 内の相加平均

※ ピアソンの積率相関係数は、線形相関以外に対応していない計算法であるが、予備実験の結果十分特徴を得ることができていたため採用した。

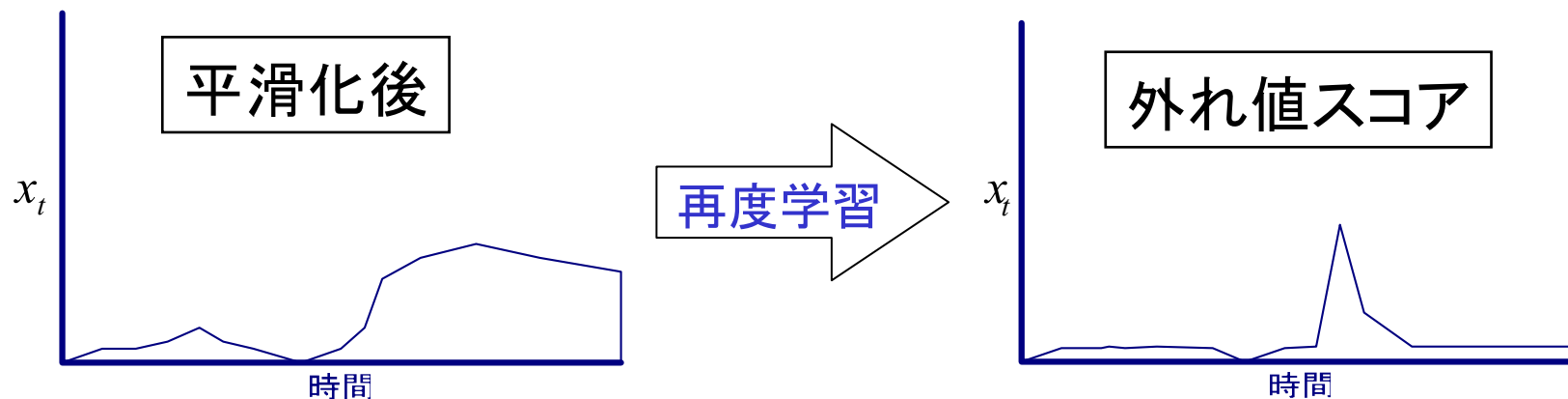
ChangeFinder[4]の流れ(第1段階)



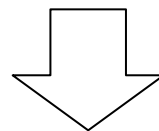
新しいデータ毎に、その時点からT時点前までの平均をとる
⇒ T区間をずらすイメージ

平滑化後の外れ値スコア = 時系列データ
⇒ 再度学習

ChangeFinder[4]の流れ(第2段階)



第1段階学習での外れ値スコア



第2段階学習では**変化点スコア**

⇒ 変化点スコアが高いほど変化点である可能性が高い



目次

- 提案手法の説明
- 実験と考察
- まとめ



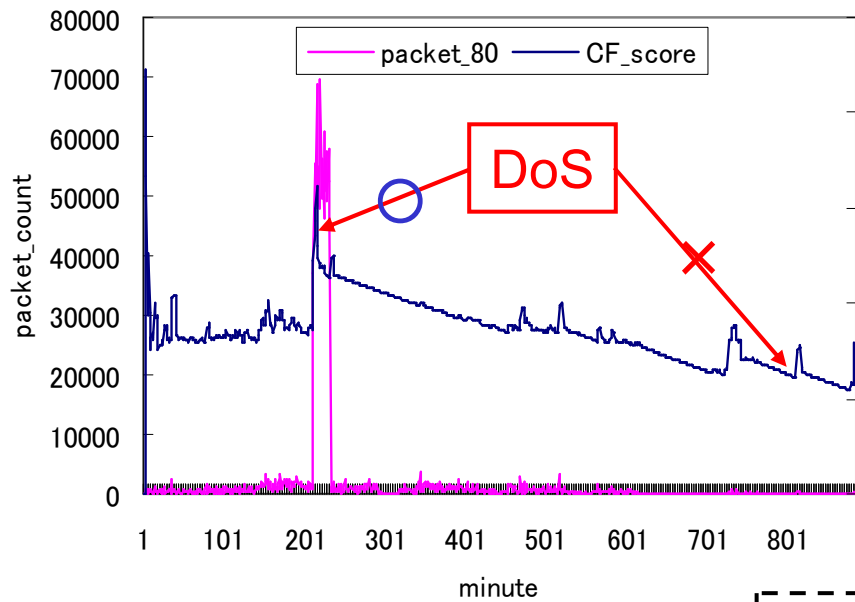
実験条件

- MITのLINCOLN研究所が作成したIDS評価用データ
 - ・IDSの性能を比較するリファレンスデータ
 - ・Week5のTuesdayデータ(tcpdump形式)
 - ポートスキャンとHTTPに対するDoS攻撃が含まれる
 - ・攻撃時間(単位時間は1分)
 - HTTPに対するDoS攻撃 - 211分、795分
 - ポートスキャン - 616分
 - ・相関係数の窓サイズ $N = 20$
 - ・実験
 - [実験1]通信量(HTTP)と偏り(DoS攻撃)の相関
 - ⇒ DoS攻撃の検出
 - ⇒ 単一の特徴量を用いた手法[従来手法]との比較
 - [実験2]通信量(SYN・FINフラグ)同士の相関
 - ⇒ ポートスキャンの検出

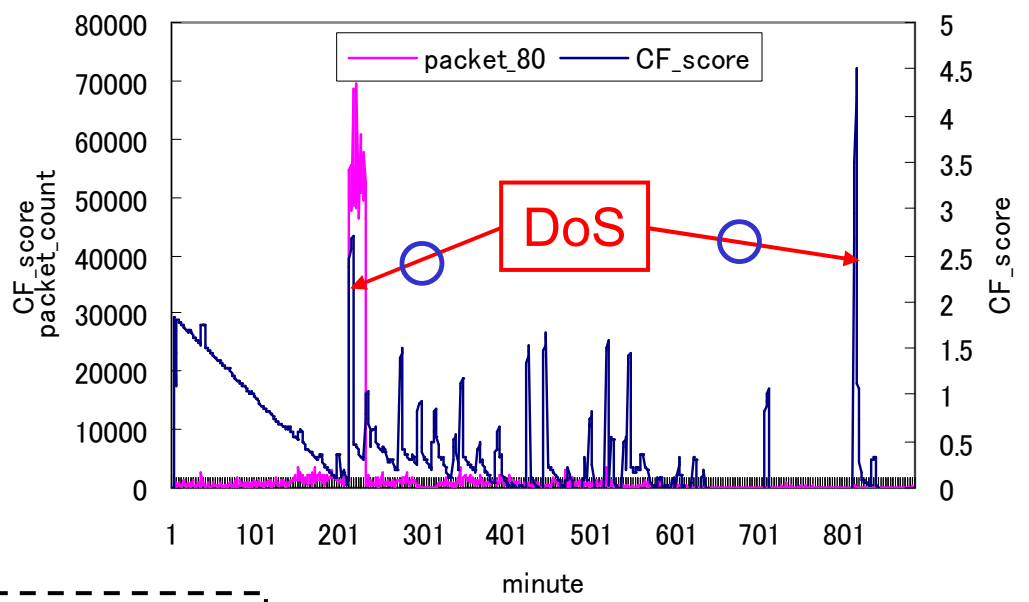
実験結果(1)

HTTPサービスに対するパケットデータ

- ⇒ 通信量 (HTTP)
 - ⇒ 偏り (DoS攻撃)
- 相関関係の変化



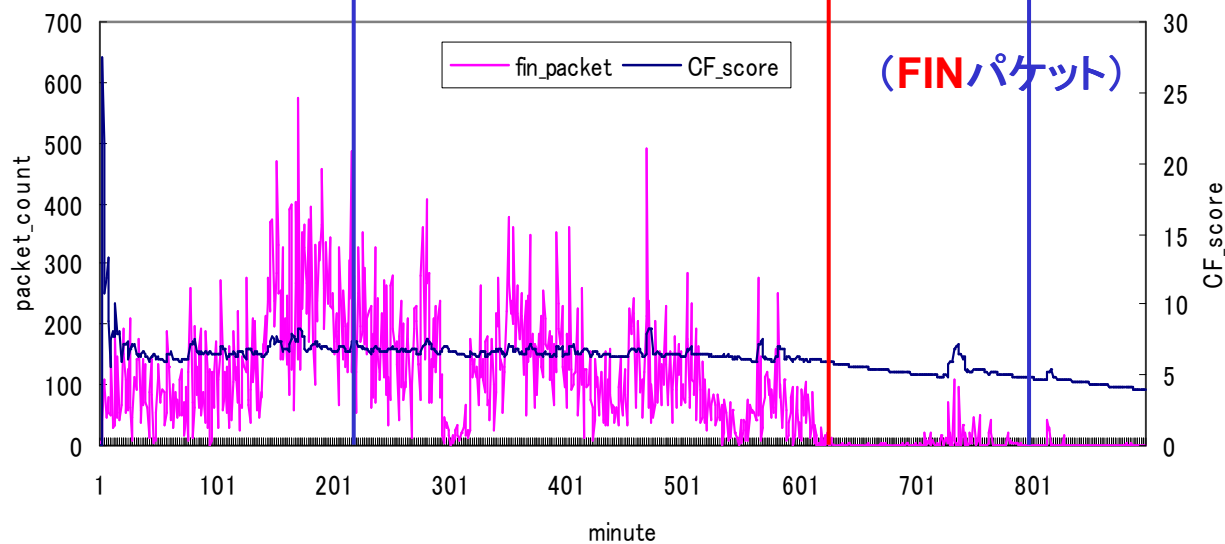
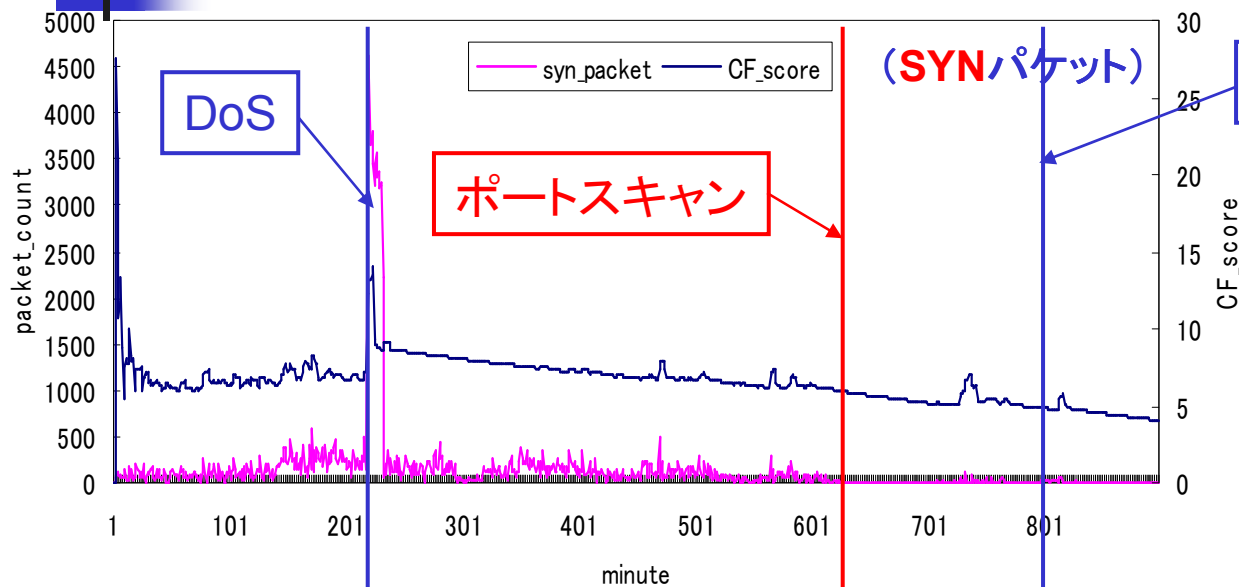
(従来手法)



(提案手法)

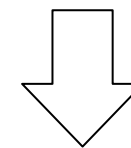
—: 変化点スコア
—: 通信量

実験結果(2) – 単一の特徴量



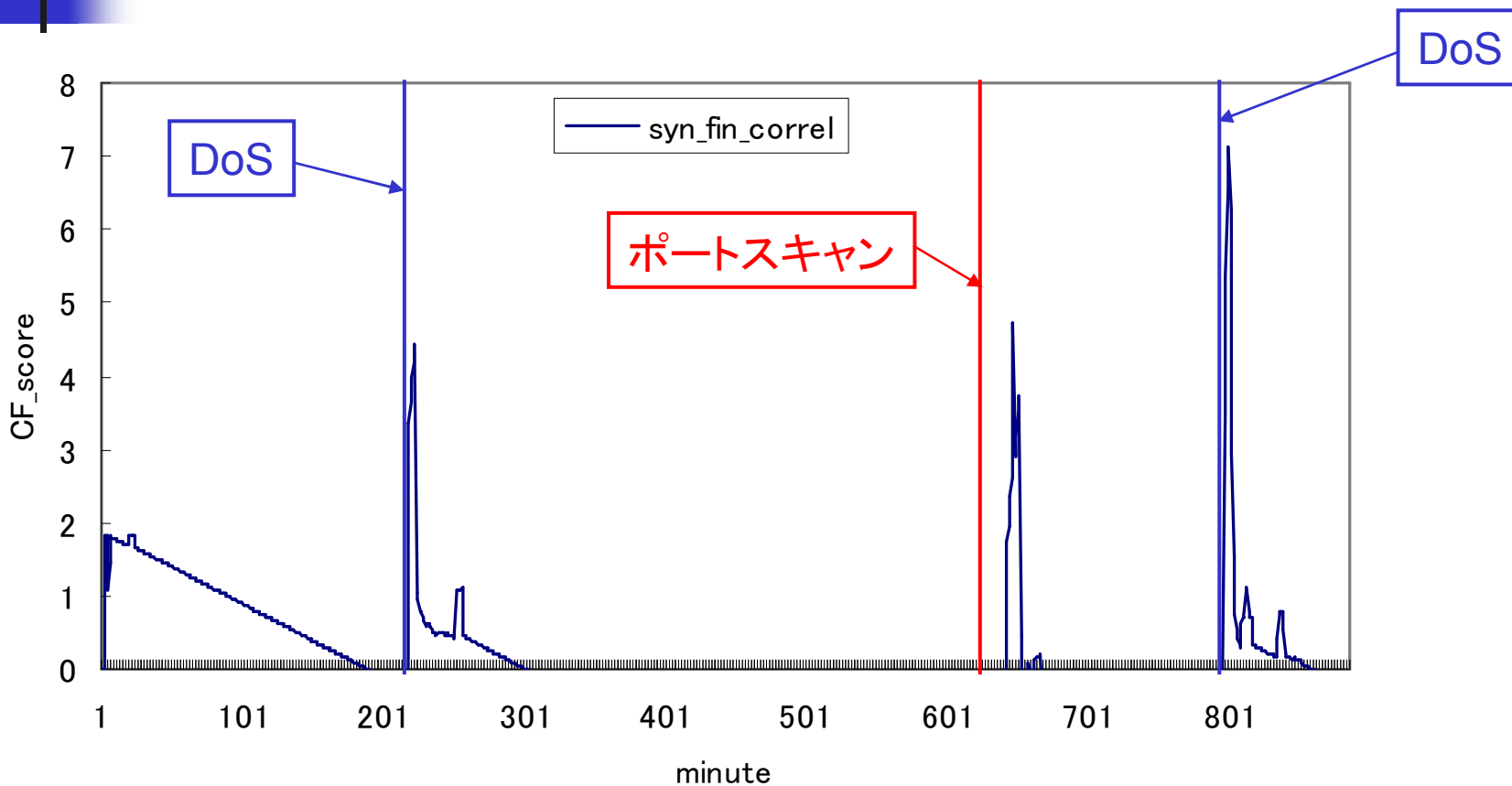
—: 変化点スコア
—: 通信量

特徴量の相関



相関係数時系列データ

実験結果(2) – 提案手法



DoS攻撃もログに残らないような攻撃法をとっていた



目次

- 提案手法の説明
- 実験と考察
- **まとめ**



まとめ

- **トラフィック特徴の相関特性を利用した手法を提案**
 - トラフィック特徴を抽出
 - 特徴量時系列データにおける相関
 - 相関係数時系列データの変化点を検出

■ 特徴

- ⇒ 単一の特徴量ではとらえられない異常を検出
- ⇒ 通信方法から逸脱したアクセスを検出

■ 問題点

- ⇒ データ量の少ない部分で特徴を抽出し過ぎる点



今後の課題

■ 相関係数の窓サイズの適応的決定

- ⇒ 標準偏差が窓サイズにおいて0になる場合の処理
- ⇒ 標準偏差による窓の適応的決定

■ 組み合わせによる特徴量のルール改善

- ⇒ 相関関係の現れるヘッダの組み合わせを検証
- ⇒ サーバ側へのパケットに絞ることによる評価
- ⇒ サーバ負荷情報に対する特徴量の考慮

■ 変化点検出エンジンの多次元化と拡張

- ⇒ 複数の相関係数時系列データを扱えるよう拡張
- ⇒ 忘却係数と平滑化係数の適応的決定